

## D. Inductances

### 1. Expressions générales et propriétés des inductances

Considérons deux circuits filiformes  $\mathcal{C}_\alpha$  et  $\mathcal{C}_\beta$  fermés ou quasi-fermés (cas d'une bobine), parcourus par des courants stationnaires  $I_\alpha$  et  $I_\beta$ . Le flux du champ créé par  $I_\beta$  à travers  $\mathcal{C}_\alpha$  vaut<sup>\*6</sup>

$$\Phi_{\alpha,\beta} = \iint_{P_\alpha \in \mathcal{S}_\alpha} \vec{B}_\beta(P_\alpha) \cdot d\vec{S}_\alpha = \oint_{P_\alpha \in \mathcal{C}_\alpha} \vec{A}_\beta(P_\alpha) \cdot d\vec{\ell}_\alpha = \oint_{P_\alpha \in \mathcal{C}_\alpha} \frac{\mu_0 I_\beta}{4\pi} \oint_{P_\beta \in \mathcal{C}_\beta} \frac{d\vec{\ell}_\beta}{P_\beta P_\alpha} \cdot d\vec{\ell}_\alpha = L_{\alpha,\beta} I_\beta, \quad (\text{VIII.40})$$

où  $\mathcal{S}_\alpha$  est une surface s'appuyant sur  $\mathcal{C}_\alpha$  et

$$L_{\alpha,\beta} = \frac{\mu_0}{4\pi} \oint_{P_\alpha \in \mathcal{C}_\alpha} \oint_{P_\beta \in \mathcal{C}_\beta} \frac{d\vec{\ell}_\beta \cdot d\vec{\ell}_\alpha}{P_\beta P_\alpha} \quad (\text{formule de Neumann}). \quad (\text{VIII.41})$$

L'expression de  $L_{\alpha,\beta}$  faisant jouer des rôles symétriques aux points  $P_\alpha$  de  $\mathcal{C}_\alpha$  et aux points  $P_\beta$  de  $\mathcal{C}_\beta$ ,

$$L_{\alpha,\beta} = L_{\beta,\alpha}. \quad (\text{VIII.42})$$

Cette quantité est appelée **[coefficient d'inductance mutuelle]** entre les deux circuits. Ce coefficient ne dépend que de la géométrie du système. Son unité dans le système international est le **henry** (symbole « H »).

Le courant dans le circuit  $\mathcal{C}_\alpha$  produit non seulement un flux à travers  $\mathcal{C}_\beta$ , mais également à travers lui-même. L'expression (VIII.41) fait apparaître des quantités infinies quand on prend  $\mathcal{C}_\beta = \mathcal{C}_\alpha$ . En raison des termes «  $1/P_\alpha P_\beta$  », on doit considérer le circuit comme un volume  $\mathcal{V}_\alpha$  et non plus comme un fil pour exprimer le champ ou le potentiel. On a

$$\Phi_{\alpha,\alpha} = \iint_{\mathcal{S}_\alpha} \vec{B}_\alpha \cdot d\vec{S} = \oint_{\mathcal{C}_\alpha} \vec{A}_\alpha \cdot d\vec{\ell} = \oint_{P \in \mathcal{C}_\alpha} \left( \iiint_{P' \in \mathcal{V}_\alpha} \frac{\mu_0 \vec{j}_\alpha(P')}{4\pi P'P} d\tau \right) \cdot d\vec{\ell}, \quad (\text{VIII.43})$$

où  $d\vec{\ell}$  est un élément de longueur autour de  $P$  et  $d\tau$  un élément de volume autour de  $P'$ . En permutant les intégrales, on obtient

$$\begin{aligned} \Phi_{\alpha,\alpha} &= \iiint_{P' \in \mathcal{V}_\alpha} \vec{j}_\alpha(P') \cdot \left( \oint_{P \in \mathcal{C}_\alpha} \frac{\mu_0}{4\pi P'P} d\vec{\ell} \right) d\tau = \frac{1}{I_\alpha} \iiint_{P' \in \mathcal{V}_\alpha} \vec{j}_\alpha(P') \cdot \left( \oint_{P \in \mathcal{C}_\alpha} \frac{\mu_0 I_\alpha}{4\pi P'P} d\vec{\ell} \right) d\tau \\ &= \frac{1}{I_\alpha} \iiint_{\mathcal{V}_\alpha} \vec{j}_\alpha \cdot \vec{A}_\alpha d\tau. \end{aligned} \quad (\text{VIII.44})$$

La densité de courant  $\vec{j}_\alpha$  dans un circuit filiforme et le potentiel  $\vec{A}_\alpha$  qu'elle produit sont tous deux proportionnels à l'intensité  $I_\alpha$  parcourant le circuit, donc

$$\Phi_{\alpha,\alpha} = L_{\alpha,\alpha} I_\alpha, \quad (\text{VIII.45})$$

où

$$L_{\alpha,\alpha} = \frac{1}{I_\alpha^2} \iiint_{\mathcal{V}_\alpha} \vec{j}_\alpha \cdot \vec{A}_\alpha d\tau \quad (\text{VIII.46})$$

est une constante appelée **inductance propre** (ou **auto-inductance**) de  $\mathcal{C}_\alpha$ .

Comme

$$\Phi_\alpha = \iint_{\mathcal{S}_\alpha} \vec{B} \cdot d\vec{S} = \iint_{P \in \mathcal{S}_\alpha} \sum_\beta \vec{B}_\beta(P) \cdot d\vec{S} = \sum_\beta \Phi_{\alpha,\beta}, \quad (\text{VIII.47})$$

on a

$$\Phi_\alpha = \sum_\beta L_{\alpha,\beta} I_\beta, \quad (\text{VIII.48})$$

ou, sous forme matricielle,

$$[\Phi_\alpha] = [L_{\alpha,\beta}] [I_\beta]. \quad (\text{VIII.49})$$

$[L_{\alpha,\beta}]$  est la matrice inductance. Les inductances  $L_{\alpha,\beta}$  ne dépendent que de la géométrie du système, c.-à-d. de la forme des circuits et de leurs positions respectives, pas des intensités des courants qui les parcourent. Elles sont donc constantes tant que cette géométrie ne change pas. Si le circuit  $\mathcal{C}_\alpha$  est de constitution constante, sa f.é.m. vaut alors

$$\epsilon_\alpha = - \frac{d\Phi_\alpha}{dt} = - \frac{d}{dt} \sum_\beta L_{\alpha,\beta} I_\beta = - \sum_\beta L_{\alpha,\beta} \frac{dI_\beta}{dt}. \quad (\text{VIII.50})$$

6. Remarquer que l'on utilise dans ce qui suit la loi de Biot et Savart hors du domaine de la magnéto-statique ! Les résultats ne sont donc qu'approximés.

Par un raisonnement analogue à celui effectué ci-dessus pour calculer  $L_{\alpha,\alpha}$ , on peut montrer que

$$L_{\alpha,\beta} = \frac{1}{I_\alpha I_\beta} \iiint_{P_\beta \in \mathcal{V}_\beta} \vec{j}_\beta(P_\beta) \cdot \vec{A}_\alpha(P_\beta) \, d\tau_\beta = \frac{1}{I_\alpha I_\beta} \iiint_{P_\alpha \in \mathcal{V}_\alpha} \vec{j}_\alpha(P_\alpha) \cdot \vec{A}_\beta(P_\alpha) \, d\tau_\alpha. \quad (\text{VIII.51})$$

Remplaçons  $\vec{j}_\alpha$  par  $\vec{\text{rot}} \vec{B}_\alpha / \mu_0$  dans cette expression. Comme

$$\text{div}(\vec{a} \times \vec{b}) = \vec{b} \cdot \vec{\text{rot}} \vec{a} - \vec{a} \cdot \vec{\text{rot}} \vec{b}, \quad (\text{VIII.52})$$

on a

$$\begin{aligned} L_{\alpha,\beta} &= \frac{1}{\mu_0 I_\alpha I_\beta} \iiint_{P_\alpha \in \mathcal{V}_\alpha} \vec{\text{rot}} \vec{B}_\alpha(P_\alpha) \cdot \vec{A}_\beta(P_\alpha) \, d\tau_\alpha \\ &= \frac{1}{\mu_0 I_\alpha I_\beta} \iiint_{P_\alpha \in \mathcal{V}_\alpha} \vec{B}_\alpha(P_\alpha) \cdot \vec{\text{rot}} \vec{A}_\beta(P_\alpha) \, d\tau_\alpha + \frac{1}{\mu_0 I_\alpha I_\beta} \iiint_{P_\alpha \in \mathcal{V}_\alpha} \text{div}(\vec{A}_\beta[P_\alpha] \times \vec{B}_\alpha[P_\alpha]) \, d\tau_\alpha. \end{aligned} \quad (\text{VIII.53})$$

La densité de courant  $\vec{j}_\alpha$  étant nulle hors de  $\mathcal{V}_\alpha$ , sur tout volume  $\mathcal{V}' \supset \mathcal{V}_\alpha$ ,

$$L_{\alpha,\beta} = \frac{1}{\mu_0 I_\alpha I_\beta} \iiint_{P_\alpha \in \mathcal{V}'} \vec{B}_\alpha(P_\alpha) \cdot \vec{B}_\beta(P_\alpha) \, d\tau_\alpha + \frac{1}{\mu_0 I_\alpha I_\beta} \iiint_{P_\alpha \in \mathcal{V}'} \text{div}(\vec{A}_\beta[P_\alpha] \times \vec{B}_\alpha[P_\alpha]) \, d\tau_\alpha, \quad (\text{VIII.54})$$

où l'on a par ailleurs utilisé le fait que  $\vec{B} = \vec{\text{rot}} \vec{A}$ . Soit  $S'$  la surface de  $\mathcal{V}'$ . D'après le théorème d'Ostrogradski,

$$\iiint_{P_\alpha \in \mathcal{V}'} \text{div}(\vec{A}_\beta[P_\alpha] \times \vec{B}_\alpha[P_\alpha]) \, d\tau_\alpha = \oiint_{P_\alpha \in S'} (\vec{A}_\beta[P_\alpha] \times \vec{B}_\alpha[P_\alpha]) \cdot \vec{dS}_\alpha. \quad (\text{VIII.55})$$

Or  $\vec{A}_\beta = \mathcal{O}(1/r)$  et  $\vec{B}_\beta = \mathcal{O}(1/r^2)$ , donc en prenant pour  $S'$  une sphère de rayon  $r$ , on obtient

$$\lim_{r \rightarrow \infty} \oiint_{P_\alpha \in S'} (\vec{A}_\beta[P_\alpha] \times \vec{B}_\alpha[P_\alpha]) \cdot \vec{dS}_\alpha = 0. \quad (\text{VIII.56})$$

Une autre expression de  $L_{\alpha,\beta}$  est donc

$$L_{\alpha,\beta} = \frac{1}{\mu_0 I_\alpha I_\beta} \iiint_{P_\alpha \in \mathcal{U}} \vec{B}_\alpha(P_\alpha) \cdot \vec{B}_\beta(P_\alpha) \, d\tau_\alpha, \quad (\text{VIII.57})$$

où  $\mathcal{U}$  représente tout l'espace. En particulier,

$$L_{\alpha,\alpha} = \frac{1}{\mu_0 I_\alpha^2} \iiint_{P_\alpha \in \mathcal{U}} B_\alpha^2(P_\alpha) \, d\tau_\alpha, \quad (\text{VIII.58})$$

donc

$$L_\alpha := L_{\alpha,\alpha} \geq 0. \quad (\text{VIII.59})$$

L'expression (VIII.57) possédant les propriétés d'un produit scalaire, le théorème de Cauchy-Schwartz permet d'affirmer que

$$|L_{\alpha,\beta}| \leq \sqrt{L_\alpha L_\beta} \quad (\text{VIII.60})$$

pour  $\alpha \neq \beta$ . Dans les circuits électriques, les composants dont l'inductance est la plus forte sont les bobines et l'influence entre celles-ci est généralement négligeable. On a alors  $L_{\alpha,\beta} \approx 0$  pour  $\alpha \neq \beta$  et

$$\Phi_\alpha \approx L_\alpha I_\alpha, \quad (\text{VIII.61})$$

d'où  $\epsilon_\alpha = -L_\alpha dI_\alpha/dt$  en supposant la bobine rigide.

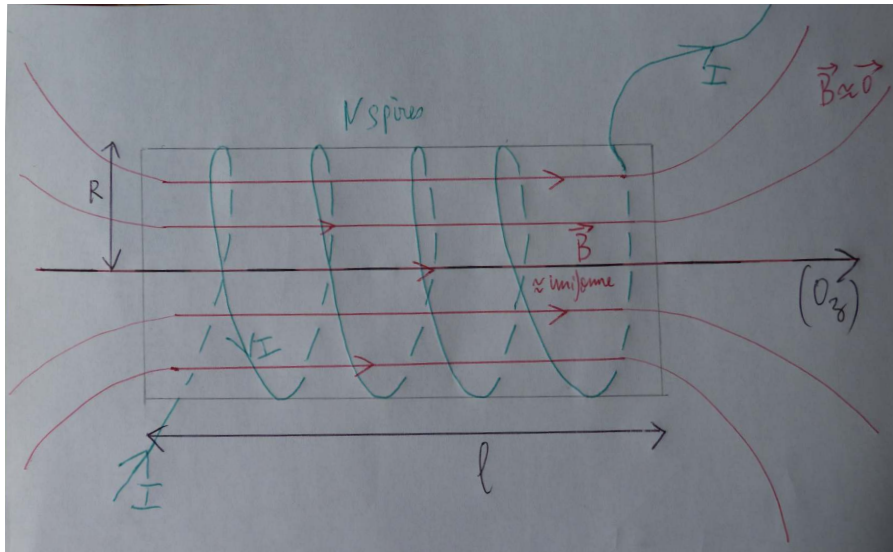
Dans les transformateurs (voir ci-dessous), on cherche au contraire à avoir un couplage maximal entre les bobines.

## 2. Inductance propre d'un solénoïde

Considérons un solénoïde constitué de  $N$  spires circulaires d'axe  $(Oz)$ , parcourues par un courant d'intensité  $I$ , où le sens positif de  $I$  est le sens trigonométrique relativement à  $\vec{u}_z$ . Supposons la longueur  $\ell$  du solénoïde suffisamment grande par rapport à son rayon  $R$  pour que l'on puisse admettre que le champ dans l'espace intérieur a la même valeur que pour un solénoïde infini,

$$\vec{B}_{\text{int}} = \mu_0 \frac{N}{\ell} I \vec{u}_z, \quad (\text{VIII.62})$$

et qu'il est nul à l'extérieur.



Le flux à travers chaque spire vaut

$$\Phi_{\text{spire}} = \vec{B}_{\text{int}} \cdot \pi R^2 \vec{u}_z = \frac{\mu_0 N I \pi R^2}{\ell} \tag{VIII.63}$$

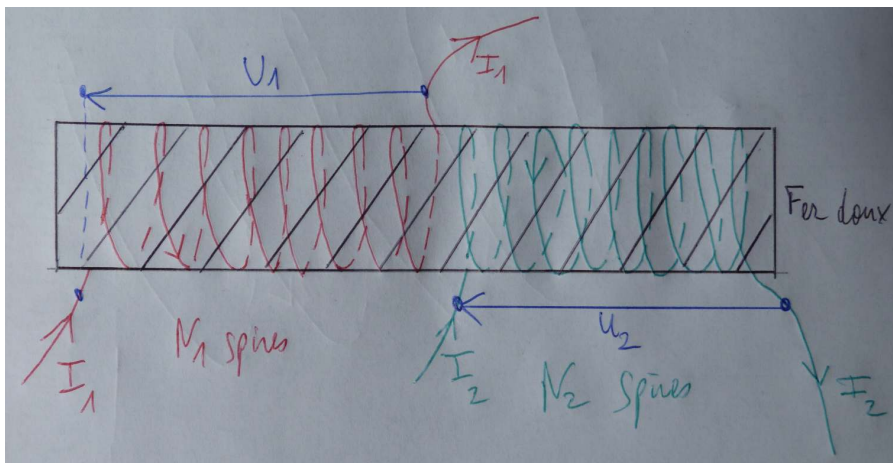
et le flux propre à travers le solénoïde vaut  $\Phi_{\text{sol}} = N \Phi_{\text{spire}}$ . Son inductance propre est donc donnée par

$$L_{\text{sol}} = \frac{\mu_0 N^2 \pi R^2}{\ell} . \tag{VIII.64}$$

Elle est proportionnelle à  $N^2$ , d'où l'intérêt que  $N$  soit grand.

### 3. Transformateurs

Un transformateur est un ensemble de deux bobines fortement couplées.



Pour assurer ce couplage, on peut par exemple les enrouler côte à côte autour d'une même barre de fer doux<sup>\*7</sup>. Sans rentrer dans les détails, ce dernier permet de canaliser le champ magnétique produit par les bobines. Le flux du champ magnétique est donc quasiment le même à travers une section de l'une ou l'autre bobine. Le couplage entre elles est alors quasi maximal et  $L_{\alpha,\beta}^2 \approx L_\alpha L_\beta$ .

En convention récepteur et en négligeant leurs résistances, les tensions aux bornes des bobines valent

$$U_\alpha = -\epsilon_\alpha = \frac{d\Phi_\alpha}{dt} = L_\alpha \frac{dI_\alpha}{dt} + L_{\alpha,\beta} \frac{dI_\beta}{dt} , \tag{VIII.65}$$

où  $\alpha \in \{1,2\}$  et  $\beta \in \{1,2\} \setminus \{\alpha\}$ . On en déduit que

$$U_2 = \frac{L_{2,1}}{L_1} U_1 + \frac{L_2 L_1 - L_{2,1}^2}{L_1} \frac{dI_2}{dt} \approx \frac{L_{2,1}}{L_1} U_1 = \sqrt{\frac{L_2}{L_1}} U_1 \tag{VIII.66}$$

7. On peut aussi les imbriquer. Le fer doux n'est alors pas nécessaire.

puisque le couplage est maximal. En assimilant les bobines à des solénoïdes, on obtient

$$U_2 = \frac{N_2}{N_1} U_1. \quad (\text{VIII.67})$$

Le dispositif permet donc, en jouant sur le rapport  $N_2/N_1$ , de *transformer* la tension  $U_1$  en tension  $U_2$ .

## E. Loi de Lenz

Orientons un circuit  $\mathcal{C}$  fermé. Lorsque le flux  $\Phi_{\text{ext}}$  à travers ce circuit du champ magnétique créé par des sources extérieures à  $\mathcal{C}$  varie, une f.é.m.  $\epsilon_{\text{ind}}$  apparaît. Celle-ci crée dans le circuit un **courant induit**

$$I = \frac{\epsilon_{\text{ind}}}{R} = - \frac{1}{R} \frac{d\Phi_{\text{ext}}}{dt}, \quad (\text{VIII.68})$$

où  $R > 0$  est la résistance totale du circuit. Le sens du courant induit est donc opposé au sens de variation de  $\Phi_{\text{ext}}$ . Ce courant induit produit un champ magnétique dont le flux  $\Phi_{\text{auto}}$  à travers le circuit vaut

$$\Phi_{\text{auto}} = LI = - \frac{L}{R} \frac{d\Phi_{\text{ext}}}{dt}, \quad (\text{VIII.69})$$

où  $L$  est l'inductance propre de  $\mathcal{C}$ . Celle-ci étant positive, on obtient la "**loi**" de Lenz :

**Le courant induit produit des effets qui s'opposent aux causes qui lui ont donné naissance.**

De manière plus explicite,  $\Phi_{\text{auto}}$  est de signe opposé à la variation de  $\Phi_{\text{ext}}$ .

## F. Énergie magnétique

On a vu au § V.F.2.b qu'une bobine d'inductance  $L_k$  parcourue par un courant d'intensité  $I_k$  emmagasine une énergie

$$\mathcal{E}_k = \frac{1}{2} L_k I_k^2 = \frac{1}{2} \Phi_k I_k. \quad (\text{VIII.70})$$

Vu éq. (VIII.58), on obtient que

$$\mathcal{E}_k = \iiint_{\mathcal{U}} \frac{B_k^2}{2\mu_0} d\tau = \iiint_{\text{courants}} \frac{\vec{j}_k \cdot \vec{A}_k}{2} d\tau. \quad (\text{VIII.71})$$

Cette énergie porte le nom d'**énergie magnétique**. L'existence d'une énergie magnétique n'est pas contradictoire avec l'absence de travail des forces magnétiques : elle provient du champ électrique induit par la variation du champ  $\vec{B}_k$  quand l'intensité passe de 0 à  $I_k$ .

Le résultat obtenu pour une bobine peut être généralisé : pour toute distribution de courants, une **énergie magnétique**

$$\mathcal{E}_B = \iiint_{\mathcal{U}} \frac{B^2}{2\mu_0} d\tau = \iiint_{\text{courants}} \frac{\vec{j} \cdot \vec{A}}{2} d\tau \quad (\text{VIII.72})$$

est emmagasinée dans le volume parcouru par les courants ou, de manière équivalente, dans le champ. La quantité  $B^2/(2\mu_0)$  est la **densité volumique d'énergie magnétique**. Pour des courants  $I_k$  dans des circuits filiformes  $\mathcal{C}_k$ ,

$$\mathcal{E}_B = \frac{1}{2} \sum_k \Phi_k I_k. \quad (\text{VIII.73})$$